

**ТОЛОГИЧЕСКАЯ ФАЗА ОПТИЧЕСКИХ ВИХРЕЙ.
СПИН-ОРБИТАЛЬНОЕ ВЗАИМОДЕЙСТВИЕ**

*Воляр А. В., доктор физико-математических наук, профессор
Жилайтис В. З., аспирант*

1. Введение

Распространение оптического вихря вдоль маломодового оптического волокна сопровождается прецессией вектора Пойнтинга электромагнитного поля вокруг оси волокна. Эта прецессия является результатом неголономной связи между электромагнитными аналогами орбитального и спинового угловых моментов поля направляемого вихря. Мерой такой неголономной связи является топологическая фаза, которая принимает форму поляризационной поправки $\delta\beta$ к постоянной распространения $\tilde{\beta}$ оптических вихрей волокна [1]. В таком представлении поляризационная поправка $\delta\beta$ характеризует величину расщепления “невозмущенного уровня” постоянной распространения $\tilde{\beta}$. Процесс, вызывающий расщепление уровня $\tilde{\beta}$, можно связать (по аналогии с моделью атома вещества) со спин-орбитальным взаимодействием в поле оптического вихря. Тогда одному расщепленному подуровню будет соответствовать постоянная распространения $\beta_{CV} = \tilde{\beta}_{CV} + \delta\beta_{CV}$ для CV вихря, а другим подуровням – постоянные распространения β_{TE} и $\beta_{TM} - TE$ и TM собственных мод, соответственно (при $l=1$).

Целью данной работы явилось построение оператора спин-орбитального взаимодействия для поля оптических CV вихрей, TE и TM мод. Изучение этой проблемы проводилось в рамках формального подхода квантовой механики, на основе теории возмущений.

2. Классификация оптических вихрей.

Собственными модами круглого локально-изотропного оптического волокна являются направляемые циркулярно поляризованные вихри $CV_{\sigma l,m}^{\kappa\sigma}$, характеризуемые азимутальным l , радиальным m , циркулярным σ индексами и индексом спин-орбитальной связи κ :

1) устойчивый, топологически однородный вихрь:

$$CV_{\sigma l,m}^{\sigma} = HE_{l+1,m}^{even} + i\sigma HE_{l+1,m}^{odd} \quad (\kappa = +1, l \geq 1, \sigma = \pm 1, \beta_1 = \tilde{\beta} + \delta\beta_1),$$

2) устойчивый, топологически неоднородный вихрь:

$CV_{\sigma l,m}^{-\sigma} = EH_{l-1,m}^{even} + i\sigma EH_{l-1,m}^{odd} \quad (\kappa = -1, l > 1, \sigma = \pm 1, \beta_2 = \tilde{\beta} + \delta\beta_2)$, где HE и EH – гибридные собственные моды волокна в линейно-поляризованном базисе;

3) неустойчивый, топологически неоднородный вихрь:

$IV_{\sigma,m}^{-\sigma} = TM_{0m} + i\sigma TE_{0m}$ ($\kappa = -1, l = 1, \sigma = \pm 1$), для которого TM и TE симметричные моды имеют различные постоянные распространения β . $\delta\beta_i$ – поляризационные поправки к постоянной распространения [2]. В дальнейшем будем полагать, что радиальный индекс $m = 1$.

Можно показать, что компоненты вектора плотности потока энергии \mathbf{P} для направляемых вихрей имеют вид:

$$P_r = 0, \quad P_\varphi = -\kappa\sigma K F_l(R) G_l^{-\kappa}(R), \quad P_z = K \frac{V}{\sqrt{2\Delta}} F_l^2(R), \quad (1)$$

где $F_l(R)$ – амплитудная функция поля (в случае параболического волокна $F_l(R) = R^l \exp(-VR^2/2)$),

$$G_l^{-\kappa} = \frac{dF_l}{dR} - \kappa \frac{l}{R} F_l, \quad K = E_0^2 n_{co} \sqrt{\frac{\epsilon_0}{\mu_0}} \frac{\sqrt{2\Delta}}{V}, \quad V – \text{волноводный параметр}, \quad \Delta – \text{высота профиля}$$

показателя преломления, $R = r/\rho$ – радиальная координата, нормированная на радиус сердцевины волокна ρ , n_{co} – показатель преломления сердцевины волокна.

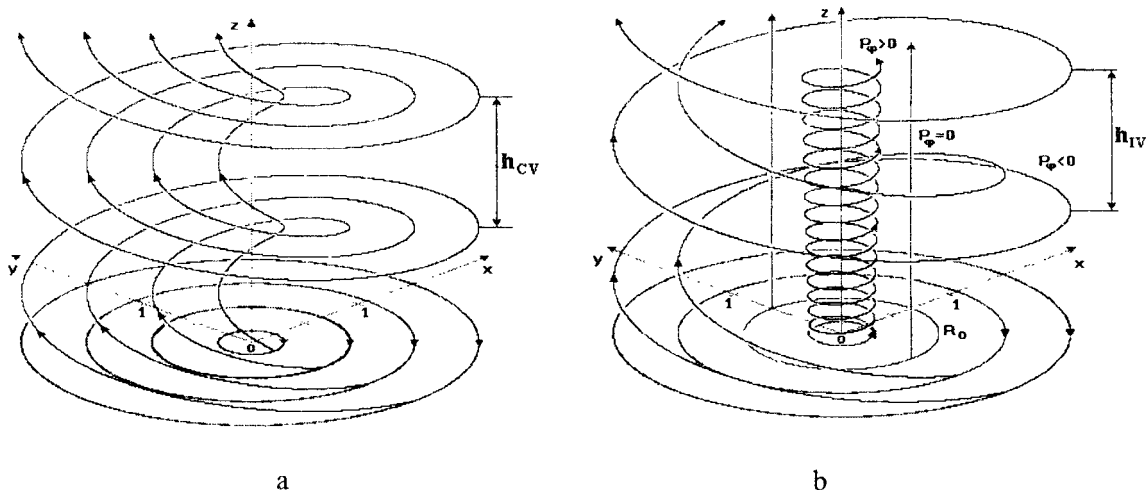


Рис. 1. а. Линии потока энергии устойчивого, топологически однородного CV вихря ($\kappa = +1, l = 1$); б. Линии потока энергии неустойчивого, топологически неоднородного IV вихря ($\kappa = -1, l = 1$).

Распространение собственных вихрей через оптическое волокно не связано с изменением каких-либо явных параметров волны, тем не менее, наличие P_φ компоненты энергетического потока вызывает процессию вектора Пойнтинга вокруг оси z . Поток энергии можно характеризовать с помощью “силовых” линий. “Силовые” линии вектора Пойнтинга (рис. 1) (1) для однородных и неоднородных вихрей имеют вид спиральных траекторий. Поток энергии $CV_{\sigma,l}^\sigma$ вихрей содержит топологически однородное поле винтовых линий (рис. 1, а). Для $CV_{\sigma,l}^{-\sigma}$ вихрей поле вектора

Пойнティングа содержит два типа спиральных траекторий, различающихся шагом и направлением закручивания (рис. 1, б), и разделенных системой прямых линий.

3. Оператор спин-орбитального взаимодействия.

В работе [1] мы связали топологическую фазу со спин-орбитальным взаимодействием в оптическом вихре, основываясь на соответствии полученных нами результатов с результатами других работ [2]. Воспользуемся формальным соответствием волнового уравнения света в неоднородной среде с уравнением Шредингера и выясним какому оператору физической величины соответствует наблюдаемое значение поляризационной поправки $\delta\beta$.

Запишем векторное волновое уравнение для света в неоднородной среде [2]:

$$\left(\nabla_{\perp}^2 + n^2(r)k^2 - \beta^2\right)\mathbf{e}_{\perp} = -\nabla_{\perp}\left(\mathbf{e}_{\perp} \nabla_{\perp} \ln n^2(r)\right) \quad (2)$$

где индекс \perp указывает на поперечные компоненты векторов, β – постоянная распространения собственных мод в оптическом волокне с градиентным профилем показателя преломления $n^2(r) = n_{co}^2(1 - 2\Delta f(r))$. Если показатели преломления сердцевины n_{co} и оболочки n_{cl} близки по величине, т. е. параметр Δ мал, то уравнение (2) в первом приближении теории возмущений можно переписать в виде [2]:

$$\left(\nabla_{\perp}^2 + n^2(r)k^2 - \tilde{\beta}^2\right)\tilde{\mathbf{e}}_{\perp} = 0. \quad (3)$$

Уравнение (3) не учитывает поляризационные свойства поля, и поэтому называется скалярным волновым уравнением. Векторные свойства полей учитываются трансформацией скалярной амплитуды поля $\tilde{\mathbf{e}} \rightarrow \mathbf{e}$ и постоянной распространения $\tilde{\beta} \rightarrow \beta$, так что $\beta = \tilde{\beta} + \delta\beta$, где $\delta\beta$ – поляризационная поправка. Найдем выражение для $\delta\beta$. Можно показать, что для всех собственных полей оптического волокна:

$$\delta\beta = 2\Delta A \int_S \tilde{e}_i^* \partial_i f \partial_k \tilde{e}_k dS, \quad (4)$$

где введено сокращение $\frac{\partial}{\partial q} \equiv \partial_q$. Подинтегральное выражение в (4) представим как:

$$\tilde{e}_i^* \partial_i f \partial_k \tilde{e}_k = (\tilde{e}_x^*, \tilde{e}_y^*) \begin{pmatrix} \partial_x f \partial_x & \partial_x f \partial_y \\ \partial_y f \partial_x & \partial_y f \partial_y \end{pmatrix} \begin{pmatrix} \tilde{e}_x \\ \tilde{e}_y \end{pmatrix}. \quad (5)$$

Матричный дифференциальный оператор $\hat{\mathbf{V}}$ в выражении (5) разложим по матрицам Паули: $\hat{\mathbf{V}} = \hat{\sigma}_0 \hat{\mathbf{V}}_0 + \hat{\sigma}_1 \hat{\mathbf{V}}_1 + \hat{\sigma}_2 \hat{\mathbf{V}}_2 + \hat{\sigma}_3 \hat{\mathbf{V}}_3$, где

$$\hat{\mathbf{V}}_0 = \frac{1}{2} \partial_r f \partial_r; \quad \hat{\mathbf{V}}_3 = \frac{i}{2r} \partial_r f \partial_{\varphi};$$

$$\hat{\mathbf{V}}_1 = \frac{1}{2} \partial_r f \left(\cos 2\phi \partial_r - \frac{1}{r} \sin 2\phi \partial_\phi \right); \quad \hat{\mathbf{V}}_2 = \frac{1}{2} \partial_r f \left(\sin 2\phi \partial_r + \frac{1}{r} \cos 2\phi \partial_\phi \right). \quad (6)$$

При переходе в цилиндрическую систему координат, мы ограничились случаем осесимметричного волокна ($\partial_\phi f = 0$). Удобно представить оператор $\hat{\mathbf{V}}$ в виде:

$$\hat{\mathbf{V}} = \frac{1}{2\rho^2} \frac{\partial f}{\partial r} (\hat{\mathbf{D}} + \hat{\mathbf{T}}\hat{\mathbf{D}}), \quad \text{где } \hat{\mathbf{D}} = \hat{\sigma}_0 \frac{\partial}{\partial R} + \frac{i}{R} \hat{\sigma}_3 \frac{\partial}{\partial \phi},$$

$$\hat{\mathbf{T}} = \hat{\sigma}_1 \cos 2\phi + \hat{\sigma}_2 \sin 2\phi = \begin{pmatrix} \cos 2\phi & \sin 2\phi \\ \sin 2\phi & -\cos 2\phi \end{pmatrix}_L = \begin{pmatrix} 0 & e^{-i2\phi} \\ e^{i2\phi} & 0 \end{pmatrix}_C. \quad (7)$$

Индекс L указывает на представление матричных операторов в линейно–поляризованном базисе, а индекс C – на циркулярно поляризованный базис.

В таблице 1 приведены результаты действия операторов $\hat{\mathbf{D}}$ и $\hat{\mathbf{T}}\hat{\mathbf{D}}$ на поля собственных мод волокна. Из таблицы видно, что действие этих операторов на циркулярно поляризованные CV вихри существенно отличается от их действия на линейно–поляризованные азимутально симметричные поля TE и TM мод. Оператор $\hat{\mathbf{D}}$ осуществляет преобразование радиального распределения поля: $F_l(R) \Rightarrow G_l^{-k}(R)$. Матрицу $\hat{\mathbf{T}}$ можно представить в виде произведения матрицы Паули $\hat{\sigma}_1$ и оператора вращения на угол 2ϕ :

$$\hat{\mathbf{T}} = \hat{\sigma}_1 \hat{\mathbf{R}}(2\phi) = \begin{pmatrix} 1 & 0 \\ 0 & -1 \end{pmatrix} \begin{pmatrix} \cos 2\phi & \sin 2\phi \\ -\sin 2\phi & \cos 2\phi \end{pmatrix}. \quad (8)$$

Оператор вращения $\hat{\mathbf{R}}$ преобразует величину топологического заряда $l \Rightarrow l + 2k$. Матрица $\hat{\sigma}_1$ преобразует направление циркуляции на противоположное $\sigma^+ \Leftrightarrow \sigma^-$. Действие оператора $\hat{\mathbf{T}}\hat{\mathbf{D}}$ на поля $\tilde{\mathbf{e}}$ для CV вихрей преобразует их в ортогональные модовые состояния. Поэтому вклад в поляризационную поправку $\delta\beta$ дает только оператор $\hat{\mathbf{D}}$, который не изменяет состояние поляризации поля, и не преобразует фазу поля. Иначе оказывается действие операторов $\hat{\mathbf{D}}$ и $\hat{\mathbf{T}}\hat{\mathbf{D}}$ на поля TE и TM мод. Здесь вклад в изменение поля вносят обе части оператора $\hat{\mathbf{V}}$.

Таблица 1.

Преобразование полей и их постоянных распространения.

	$\kappa = +1 \quad l \geq 1$ $\kappa = -1 \quad l > 1$	$\sigma = \pm 1$	$\kappa = -1 \quad l = 1$	$\kappa = -1 \quad l = 1$
	$CV_{\sigma l}^{\kappa \sigma}$		TM	TE
$ \tilde{\mathbf{e}}\rangle$	e_x	$\frac{1}{\sqrt{2}} F_l e^{i\sigma l\phi}$	$F_1 \cos\phi$	$F_1 \sin\phi$
	e_y	$\frac{i\kappa\sigma}{\sqrt{2}} F_l e^{i\sigma l\phi}$	$F_1 \sin\phi$	$-F_1 \cos\phi$
$\hat{\mathbf{D}} \tilde{\mathbf{e}}\rangle$	e_x	$\frac{1}{\sqrt{2}} G_l^{-\kappa} e^{i\sigma l\phi}$	$G_1^+ \cos\phi$	$G_1^+ \sin\phi$
	e_y	$\frac{i\kappa\sigma}{\sqrt{2}} G_l^{-\kappa} e^{i\sigma l\phi}$	$G_1^+ \sin\phi$	$-G_1^+ \cos\phi$
$\hat{\mathbf{T}}\hat{\mathbf{D}} \tilde{\mathbf{e}}\rangle$	e_x	$\frac{1}{\sqrt{2}} G_l^{-\kappa} e^{i\sigma(l+2\kappa)\phi}$	$G_1^+ \cos\phi$	$-G_1^+ \sin\phi$
	e_y	$\frac{-i\kappa\sigma}{\sqrt{2}} G_l^{-\kappa} e^{i\sigma(l+2\kappa)\phi}$	$G_1^+ \sin\phi$	$G_1^+ \cos\phi$
$a\langle\tilde{\mathbf{e}} \frac{\partial f}{\partial R}\hat{\mathbf{D}} \tilde{\mathbf{e}}\rangle$		$I_l^{-\kappa}$	I_1^+	I_1^+
$a\langle\tilde{\mathbf{e}} \frac{\partial f}{\partial R}\hat{\mathbf{T}}\hat{\mathbf{D}} \tilde{\mathbf{e}}\rangle$		0	I_1^+	$-I_1^+$
$\delta\beta$		$I_l^{-\kappa}$	$2I_1^+$	0
$\delta\beta \quad (f = R^2)$		$-\kappa(l+\kappa) \frac{(\sqrt{2\Delta})^3}{2\rho V}$	0	0

В таблице использованы обозначения:

$$a = \frac{(\sqrt{2\Delta})^3}{4\rho V} \frac{1}{\langle\tilde{\mathbf{e}}|\tilde{\mathbf{e}}\rangle}, \quad \delta\beta = \frac{(\sqrt{2\Delta})^3}{4\rho V} \frac{\langle\tilde{\mathbf{e}}|\frac{\partial f}{\partial R}(\hat{\mathbf{D}} + \hat{\mathbf{T}}\hat{\mathbf{D}})\tilde{\mathbf{e}}\rangle}{\langle\tilde{\mathbf{e}}|\tilde{\mathbf{e}}\rangle}, \quad I_l^{-\kappa} = \frac{(\sqrt{2\Delta})^3}{4\rho V} \int_0^\infty \frac{\partial f}{\partial R} F_l G_l^{-\kappa} R dR \left/ \int_0^\infty F_l^2 R dR \right..$$

Литература.

1. Воляр А. В., Жилайтис В. З., Фадеева Т. А., Шведов В. Г. Топологическая фаза оптических вихрей в маломодового волокна // Письма в ЖТФ. 1998. (принято к печати).
2. Снайдер А., Лав Дж. Теория оптических волноводов. – М.: Радио и Связь, 1987. – 656 с.